

УДК 532.526

© 1996 г. В.Н. Диесперов

### ОБ ОДНОЙ ЗАДАЧЕ В ТЕОРИИ СЛОЕВ СМЕШЕНИЯ

Рассматривается классическая задача об установившемся свободном слое смешения, образующемся в результате взаимодействия двух параллельных однородных потоков, движущихся с разными скоростями и соприкасающихся в некотором сечении. При дополнительном условии положительности первой производной решения в классе автомодельных функций изучается краевая задача при значениях параметра автомодельности  $m > 0$ , описывающая смешение двух вязких потоков одной и той же жидкости при  $m = 1$  [1] и  $m = 2$  [2]. Используемый метод исследования [3–5] позволяет свести нелинейное уравнение третьего порядка к уравнению первого порядка и построить соответствующие решения  $\Phi(\zeta)$  в параметрической форме в зависимости от значений  $m$ . Знание поведения профиля скорости основного потока может быть использовано при исследовании устойчивости течения. Полученные результаты лежат в основе последующего построения решения задачи Лока [6] и исследования единственности найденных решений.

Как известно [1, 7–9], течение в слое смешения описывается уравнением пограничного слоя для функции тока с нулевым градиентом давления. Последнее допускает класс автомодельных решений. Автомодельная функция  $\Phi(\zeta)$  ( $\zeta$  – автомодельная переменная) удовлетворяет известному нелинейному дифференциальному уравнению, коэффициенты которого содержат параметр автомодельности  $m$  [3–5].

Решение краевой задачи, которая описывает течение в слое смешения, ищется в классе автомодельных функций при  $m = 1$  [1, 3–5]. В дальнейшем эта задача при  $m = 1$  была обобщена [6] на случай смешения двух плоскопараллельных потоков жидкости, имеющих разные плотности и коэффициенты вязкости. Как показывают эксперименты [8], слой смешения на поверхности контакта двух разных сред часто оказывается более устойчивым, чем свободный слой смешения в однородной жидкости.

В связи с развитием теории свободного взаимодействия появились также неклассические задачи для слоев смешения со значениями  $m \in (1, 2)$  [2, 10–12]. Было исследовано [2] течение в окрестности задней кромки пластины, когда с нее сходят два вязких потока одной и той же жидкости с разными скоростями. Течение в возникающем несимметричном следе Гольдштейна описывается краевой задачей, которой должна удовлетворять автомодельная функция  $\Phi(\zeta)$  при  $m = 2$ .

Во всех перечисленных работах исследования проводились на основе численных и асимптотических методов. Вопрос о существовании и единственности решения остался открытым.

1. Течение несжимаемой жидкости в слоях смешения описывается в первом приближении уравнением пограничного слоя с нулевым градиентом давления для функции тока  $\psi$

$$\frac{\partial \psi}{\partial y} \frac{\partial^2 \psi}{\partial y \partial x} - \frac{\partial \psi}{\partial x} \frac{\partial^2 \psi}{\partial y^2} = \frac{\partial^3 \psi}{\partial y^3} \quad (1.1)$$

Уравнение (1.1) допускает решения в классе автомодельных функций [7–9]

$$\psi = \left[ \frac{m}{m+1} \right]^{-1/2} x^{m+1} \Phi(\zeta), \quad \zeta = \left[ \frac{m}{m+1} \right]^{1/2} y x^{-\frac{1}{m+1}}$$

Для определения  $\Phi(\zeta)$  получается нелинейное дифференциальное уравнение третьего порядка

$$\frac{m-1}{m} \left( \frac{d\Phi}{d\zeta} \right)^2 - \Phi \frac{d^2\Phi}{d\zeta^2} = \frac{d^3\Phi}{d\zeta^3} \quad (1.2)$$

Краевые условия для уравнения (1.2) формулируются следующим образом [3–5]:

$$\Phi = b_1 \zeta^m + \dots, \quad \zeta \rightarrow +\infty, \quad b_1 > 0, \quad m > 0 \quad (1.3)$$

$$\Phi = 0, \quad \zeta = 0 \quad (1.4)$$

$$\Phi = b_2 (-\zeta)^m + \dots, \quad \zeta \rightarrow -\infty, \quad b_2 < 0 \quad (1.5)$$

При  $m = 1$  и  $m = 2$  краевая задача типа (1.2), (1.3) – (1.5) исследовалась в работах [1, 2]. В описываемых ею физических задачах ось  $x$  ортогональной системы координат  $(x, y)$  совпадает с нулевой линией тока. Краевая задача (1.2), (1.3) – (1.5) имеет также самостоятельный математический интерес. Уравнение (1.2) инвариантно относительно преобразования сдвига. Его порядок поэтому понижается, если положить

$$f = \frac{d\Phi}{d\zeta} \left( \frac{d^2\Phi}{d\zeta^2} = f \frac{df}{d\zeta}, \quad \frac{d^3\Phi}{d\zeta^3} = f \left[ \left( \frac{df}{d\zeta} \right)^2 + f \frac{d^2f}{d\zeta^2} \right], \quad \xi \equiv \Phi \right)$$

Для определения  $f(\xi)$  получается краевая задача

$$f \frac{d^2f}{d\xi^2} + \left( \frac{df}{d\xi} \right)^2 + \xi \frac{df}{d\xi} - \frac{m-1}{m} f = 0 \quad (1.6)$$

$$f = mb_1^m \xi^{\frac{1}{m}} + \dots, \quad \xi \rightarrow +\infty; \quad f = m(-b_2)^m (-\xi)^{\frac{1}{m}} + \dots, \quad \xi \rightarrow -\infty$$

Уравнение (1.6) в свою очередь инвариантно относительно преобразования растяжения  $f \rightarrow \alpha^2 f$ ,  $\xi \rightarrow \alpha \xi$ ,  $\alpha \neq 0$ . Это означает, что порядок уравнения (1.6) понизится, если произвести подстановку

$$f = \xi^2 F(\xi), \quad \xi \frac{dF}{d\xi} = \Psi \quad (1.7)$$

В результате уравнение (1.2) сводится к уравнению первого порядка [3–5]

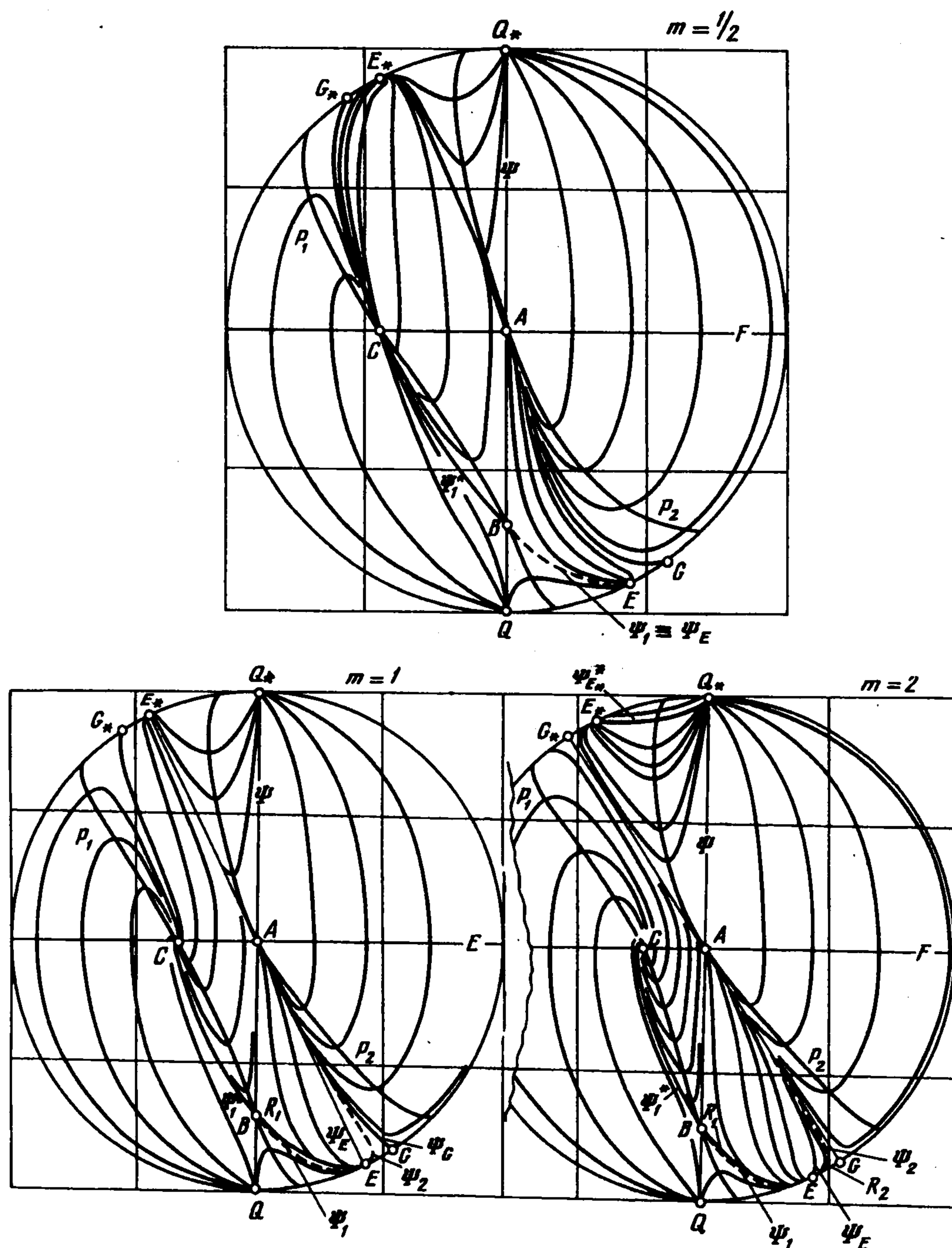
$$\frac{d\Psi}{dF} = - \frac{\Psi^2 + 7F\Psi + 6F^2 + \Psi + \frac{m+1}{m} F}{F\Psi} = - \frac{P(F, \Psi)}{F\Psi} \quad (1.8)$$

Производные функций  $f(\xi)$  и  $\Phi(\zeta)$  связаны с  $F$  и  $\Psi$  соотношениями

$$\frac{d\Phi}{d\zeta} = \xi^2 F, \quad \frac{d^2\Phi}{d\zeta^2} = \xi^3 F(\Psi + 2F), \quad \frac{d^3\Phi}{d\zeta^3} = -\xi^4 F(\Psi + \frac{m+1}{m} F) \quad (1.9)$$

$$\frac{df}{d\xi} = \xi(\Psi + 2F), \quad \frac{d^2f}{d\xi^2} = - \frac{(\Psi + 2F)^2 + \Psi + \frac{m+1}{m} F}{F} = - \frac{R(F, \Psi)}{F}$$

Уравнения  $P = 0$  и  $R = 0$  определяют кривые  $P_1, R_1$ , проходящие через точку  $B$  и  $P_2, R_2$  – проходящие через точку  $A$  (фигура).



Таким образом, задача об исследовании интегральных кривых (ИК) уравнения (1.2) в результате последовательных групповых преобразований свелась к задаче об изучении картины поведения ИК уравнения первого порядка (1.8). Для ее построения необходимо знать характер особых точек уравнения (1.8) и найти, каким требованиям должны удовлетворять ИК, чтобы выполнялись поставленные граничные условия.

Уравнение (1.8) имеет три особые точки  $A(0, 0)$ ,  $B(0, -1)$ ,  $C(-(m+1)/6m, 0)$  в конечной части плоскости и три бесконечно удаленные. Их удобно обозначать  $E - E_*$ ,  $G - G_*$ ,  $Q - Q_*$ , так как каждая из этих особых точек на экваторе единичной полусферы Пуанкаре расслаивается на две тождественные, лежащие симметрично относительно центра. Те из них, в которые кривые входят или выходят при  $\Psi < 0$ , обозначим через  $E, G, Q$ , а при  $\Psi > 0$  — через  $E_*, G_*, Q_*$ . Полусфера затем проектируется на единичный круг (фигура) на котором особые точки  $E - E_*$ ,  $G - G_*$  и  $Q - Q_*$  имеют координаты  $(\pm 1/\sqrt{5} \mp 2/\sqrt{5}), (\pm 2/\sqrt{3}, \mp 3/\sqrt{13})$  и  $(0, \mp 1)$  соответственно. Ось  $F = 0$  интегральные кривые уравнения (1.8) могут проходить только через особые точки  $A, B, Q - Q_*$ .

Изучим поведение ИК уравнения (1.8) в окрестностях особых точек.

*Особая точка  $A(0, 0)$ .* Особая точка  $A$  характеризуется тем, что одно из характеристических чисел уравнения (1.8) равно нулю, а другое отлично от нуля. Обозначим области, в которых  $d\Psi/dF < 0$  через  $\Omega = \{F > 0, P(F, \Psi) < 0\}$ ,  $\Omega_* =$

$= \{F < 0, \Psi > 0, P(F, \Psi) < 0\}$ . ИК, попадающие в точку  $A$ , в некоторой ее окрестности принадлежат либо  $\Omega$ , либо  $\Omega_*$  [13–16]. Если  $(F, \Psi) \in \Omega_*$ , то в  $A$  входит единственная ИК, которую обозначим  $\Psi_A^*$ . Если ИК в области  $\Omega$  попадает в некоторую окрестность точки  $A$ , то она обязательно при  $F \rightarrow +0$  входит в точку  $A$ . Рассмотрим дугу  $KL$  радиуса  $\rho$  ( $0 < \rho < 1$ ), точка  $K$  которой лежит на отрицательной части оси  $\Psi$ , а  $L$  – на кривой  $P_2$ . Криволинейный сектор  $ALK$ , границей которого является отрезок  $AK$ , дуга  $KL$  и часть кривой  $P_2-AL$ , содержит одно исключительное направление [17, 18].

Используя технику, разработанную в [15–18], можно показать, что все ИК, попадающие в сектор  $ALK$ , при  $F \rightarrow +0$  входят в точку  $A$ , касаясь прямой  $\Psi = -[(m+1)/m]F$ . Сделаем замену  $\Psi = [-(m+1)/m + \omega]F$ . Для функции  $\omega(F)$  получаем уравнение

$$F^2 \frac{d\omega}{dF} = \left[ \omega + \frac{(m-1)(m-2)}{m^2} F + \frac{3m-4}{m} F\omega + 2\omega^2 F \right] \left( \frac{m+1}{m} - \omega \right)^{-1} \quad (1.10)$$

Из сказанного выше вытекает, что  $\omega(F) \rightarrow 0$  при  $F \rightarrow +0$ . Уравнение (1.10) в окрестности точки  $(0, 0)$  является уравнением Бендиксона [13, 16]. Отсюда следует, что существует окрестность точки  $(0, 0)$ , в которую попадают все ИК уравнения (1.8) из сектора  $ALK$  и достигают  $(0, 0)$ , касаясь прямой  $\omega = -[(m-1)(m-2)/m^2]F$ . Это означает, что любая ИК, содержащаяся в секторе  $ALK$ , при  $F \rightarrow +0$ , имеет вид  $\omega = [(m-1)(m-2)/m^2]F + \omega_1(F)F$ . Функция  $\omega_1(F) \rightarrow 0$  при  $F \rightarrow +0$  и в некоторой окрестности точки  $(0, 0)$  опять удовлетворяет уравнению Бендиксона.

Следовательно, для любой ИК, попадающей в точку  $A$  при  $F \rightarrow +0$ , при некотором  $\delta_0 > 0$  справедливо представление

$$\Psi = -\frac{m+1}{m} F - \frac{(m-1)(m-2)}{m^2} F^2 + \omega_2(F), \quad \omega_2(F) = O(F^3) \quad (1.11)$$

$$F \in [0, \delta_0]$$

Выделим одну из ИК  $\Psi = \mu(F)$  и выясним, как остальные ИК уравнения (1.8) отличаются от нее при  $F \rightarrow +0$ . Будем искать решение уравнения (1.8) в виде  $\Psi = \mu + v$ . Подстановка в уравнение (1.8) дает

$$E\mu \frac{dv}{dF} = -\left(1 + 7F + 2\mu + F \frac{d\mu}{dF}\right)v - v^2 - Fv \frac{dv}{dF} \quad (1.12)$$

Решение усеченного уравнения (1.12), полученного отбрасыванием нелинейных членов, имеет вид

$$v = Cv_0 = C\omega_3(F)F^l \exp\left[-\frac{m}{m+1}F^{-1}\right], \quad \omega_3(F) = 1 + O(F) \quad (1.13)$$

$$l = \frac{3m^2 + 4m - 5}{m(m+1)}, \quad C = \text{const}, \quad F \in (0, \delta_0]$$

Все встречающиеся ниже функции вида  $F^q v_0(F)$  (величина  $q$  произвольна) в нуле доопределяются по непрерывности нулем. Положим  $v = C(F)v_0$ . Для определения  $C(F)$  получаем интегральное уравнение

$$C(F) = A(C; D)$$

$$A(C; D) = -\int_0^F F^{-1} \mu^{-1} \frac{d(Fv_0)}{dF} \frac{C^2}{1 + \mu^{-1} v_0 C} dF + D, \quad D = \text{const} \quad (1.14)$$

Рассмотрим пространство непрерывных функций на отрезке  $[0, \delta]$  с метрикой  $\|\varphi\| = \sup|\varphi|$ ,  $F \in [0, \delta]$ . Обозначим через  $L$  ограниченное и замкнутое множество функций, удовлетворяющих условиям

$$\|\varphi(F) - D\| \leq M, \quad \varphi \in C[0, \delta], \quad M = \text{const}$$

Покажем, что оператор  $A(\varphi; D)$  сжимает  $L$ . Выберем  $\delta > 0$  так, чтобы выполнялись одновременно соотношения (1.11), (1.13) и

$$\int_0^\delta \left| F^{-1} \mu^{-1} \frac{d(Fv_0)}{dF} \right| dF \leq \frac{Mq_1^2(1-q_2)^2}{(1D+M)^2}, \quad 0 < q_1^2 < \frac{1}{3}$$

$$|\mu^{-1} v_0| (|D| + M) \leq q_1 < 1$$

Тогда имеем

$$\varphi \in L \rightarrow A(\varphi; D) \in C[0, \delta], \quad \|A(\varphi, D) - D\| \leq M$$

$$\varphi_1, \varphi_2 \in L \rightarrow \|A(\varphi_1; D) - A(\varphi_2; D)\| \leq \theta^2 \|\varphi_1 - \varphi_2\|, \quad \theta^2 < 1$$

Отсюда вытекает, что уравнение (1.14) имеет единственное решение  $C^*(F) \in L$ ,  $F \in [0, \delta]$ . Следовательно, любое решение уравнения (1.8) в области  $\Omega$  при  $F \rightarrow +0$  можно представить в виде

$$\Psi = \mu(F) + Dv_0 - v_0 \int_0^F \tau^{-1} \mu^{-1} \frac{d(\tau v_0)}{d\tau} \frac{C^{*2}}{1 + \mu^{-1} v_0 C^*} dF = \mu(F) + Dv_0 + o(v_0) \quad (1.15)$$

Из дальнейшего станет ясно, что в качестве  $\Psi = \mu(F)$  лучше всего брать ИК  $\Psi_E$ , которая будет определена ниже.

Асимптотическое поведение решений уравнения (1.8) при  $\zeta \rightarrow +\infty$ , соответствующих (1.5), будет следующим [3–5]:

$$\Phi = b_1(\zeta + l_A)^m - \frac{(m-1)(m-2)}{m+1} O[(\zeta + l_A)^{-(m+2)}] + \quad (1.16)$$

$$+ D_2(\zeta + l_A)^{\beta_1} \exp\left[-\frac{b_1}{m+1}(\zeta + l_A)^{m+1}\right], \quad \beta_1 = -\frac{3m^2 + 5m - 4}{m+1}; \quad D_2, l_A = \text{const}$$

*Особая точка В.* Особая точка  $B$  – седло. Через нее при любом  $m > 0$  проходит единственная ИК, которая при  $F \rightarrow 0$  описывается разложением [3–5]

$$\Psi = -1 + \sum_{k=1}^{\infty} b_k F^k, \quad b_1 = -\frac{6m-1}{2m}, \quad b_2 = \frac{1}{3}[2b_1^2 + 7b_1 + 6] \quad (1.17)$$

$$b_k = \frac{1}{k+1} \left[ \frac{k+2}{2} \sum_{n=2}^k b_{k-1} b_{k-n+1} + 7b_{k-1} \right], \quad k \geq 3$$

Ее часть при  $F > 0$  обозначим  $\Psi_1$ , а при  $F \leq 0$   $-\Psi_1^*$ . Решения уравнения (1.6), отвечающие разложению (1.17), представимы в виде

$$f = -c(\xi - c) - \frac{1}{4m}(\xi - c)^2 + O[(\xi - c)^3], \quad \xi \rightarrow c \neq 0 \quad (1.18)$$

Кривой  $\Psi_1$  соответствуют решения, описываемые разложением (1.18) при  $f > 0$ , а кривой  $\Psi_1^*$  – при  $f < 0$ . Решения уравнения (1.2), соответствующие  $\Psi_1$  и  $\Psi_1^*$  при  $F \rightarrow 0$ , при  $c\zeta \rightarrow +\infty$  ведут себя следующим образом:

$$\Phi = c - \text{sign}(cf) \exp[-c(\zeta + l_B)] + \dots, \quad l_B = \text{const} \quad (1.19)$$

В дальнейшем  $\zeta$  с индексом означает некоторое конечное значение  $\zeta$ , а  $C$  с индексом – постоянную.

*Особая точка  $E - E_*$ .* Для исследования бесконечно удаленной особой точки  $E - E_*$  произведем в уравнении (1.8) замену переменных

$$2F - \frac{m-1}{m} = \frac{1}{t}, \quad \Psi = \frac{\sigma-1}{t}$$

В результате  $\sigma$  и  $t$  получим уравнение

$$t(1-\sigma)\left(1 + \frac{m-1}{m}t\right)\frac{d\sigma}{dt} = \frac{\sigma}{2} - 2\sigma^2 - \frac{5m-3}{2m}\sigma t - \frac{(2m-1)(m-1)}{m^2}t^2 - \frac{m-1}{m}t\sigma^2 \quad (1.20)$$

Его решение при  $0 \leq t < r(C_E)$  можно представить в виде сходящегося ряда ( $r$  – радиус сходимости) [3–5, 19]

$$\dot{\sigma} = \sum_{k=1}^{\infty} d_k t^{k/2} = C_E t^{1/2} J_1(t; C_E) + J_2(t; C_E) \quad (1.21)$$

$$J_1(t; C_E) = J_1(t; -C_E), \quad J_2(t; C_E) = J_2(t; -C_E), \quad 0 \leq t < r(C_E)$$

Аналогично строится решение при  $t \rightarrow 0$ . Из сказанного следует, что точка  $E - E_*$  – узел. Согласно (1.21), решения уравнения (1.8) при  $F \rightarrow +\infty$  в окрестности точки  $E$  ведут себя следующим образом:

$$\Psi = -2F + \frac{m-1}{m} + C_E \sqrt{2F - \frac{m-1}{m}} + \dots, \quad F \rightarrow +\infty \quad (1.22)$$

Найдем, каким образом  $F$  зависит от  $\xi$  в окрестности точки  $E$ . Введем новую функцию  $\tau$ , положив  $t = \tau^2$ . Для определения  $\tau = \tau(\xi)$  из (1.7) получим уравнение, общим интегралом которого будет

$$\Phi(\xi, \tau; a, C_E) = a\xi - \tau \exp \left[ \int_0^{\tau} \frac{z(\theta; C_E) d\theta}{\theta(1-z(\theta; C_E))} \right] = 0, \quad a \neq 0$$

$$z(\tau; C_E) = C_E \tau J_1(\tau^2; C_E) + J_2(\tau^2; C_E) \quad (1.23)$$

Так как  $z(\theta; C_E) = z(-\theta; -C_E)$ , то

$$\Phi(\xi, -\tau; -a, -C_E) = -\Phi(\xi, \tau; a, C_E)$$

ИК, которые при  $F \rightarrow +\infty$  описываются разложениями (1.22) с  $C_E = \alpha > 0$ , будем обозначать  $\Psi = \Psi(F; \alpha)$ , а с  $C_E = \beta < 0$  –  $\Psi = \Psi(F; \beta)$ . Соответствующие им функции  $z(\tau; C_E)$  через  $z(\tau; \alpha)$  и  $z(\tau; \beta)$ .

Если мы находимся на кривой  $\Psi = \Psi(F; \alpha)$  и  $a = a_2 > 0$ , то для определения зависимости  $\tau$  от  $\xi$  служит уравнение (1.23). Его решением будет  $\tau_2 = \xi \kappa(\xi; a_2, \alpha), |\xi| < r_\epsilon(a_2, \alpha)$ , где  $\kappa$  – голоморфная функция и  $\kappa(0; a_2, \alpha) = a_2$ .

Пусть мы находимся на кривой  $\Psi = \Psi(F; \beta)$  и  $a = a_1 < 0$ . Зависимость  $\tau$  от  $\xi$  найдем как решение уравнения (1.23). Обозначим его  $\tau_1 = \xi \kappa(\xi; a_1, \beta), |\xi| < r_\epsilon(a_1, \beta)$ ,  $\kappa(0; a_1, \beta) = a_1$ .

Из непрерывности  $f(\xi)$  и ее производной в точке  $\xi$  следует, что  $a_1^2 = a_2^2$  и  $\alpha a_2 = \beta a_1$ . Так как  $\alpha$  и  $\beta$  должны быть разных знаков, то решением этой системы будет  $\beta = -\alpha, a_1 = -a_2$ .

Положив  $\beta = -\alpha$ ,  $a_1 = -a_2 = -a_0 < 0$ , из соотношения (1.23) получаем, что  $\tau_1(\xi; -a_0, -\alpha) = -\tau_2(\xi, a_0, \alpha)$ ,  $|\xi| < r_E(a_0, \alpha)$ .

Отсюда, используя (1.7), имеем

$$f_1 = \frac{1}{2} \left[ \frac{m-1}{m} \xi^2 + \kappa^{-2}(\xi; -a_0, -\alpha) \right], \quad f_2 = \frac{1}{2} \left[ \frac{m-1}{m} \xi^2 + \kappa^{-2}(\xi; a_0, \alpha) \right], \quad f_1 \equiv f_2, \quad 0 \leq |\xi| < r_E(a_0, \alpha) \quad (1.24)$$

Следовательно, каждое дважды непрерывно дифференцируемое решение  $f(\xi)$  в окрестности точки  $(\xi = 0, f(0) \neq 0)$  отображается в окрестности точки  $E$  на две ИК  $\Psi = \Psi(F; -\alpha)$ ,  $\Psi = \Psi(F; \alpha)$ , объединение которых также будем называть ИК. Обратно, если продолжить ИК  $\Psi = \Psi(F; -\alpha)$  ИК  $\Psi = \Psi(F; \alpha)$ , то в классе дважды непрерывно дифференцируемых функций соответствующие им решения в окрестности точек  $(\xi = 0, f(0) \neq 0)$  будут описываться разложениями (1.24). В плоскости  $(\zeta, \Phi)$  соответствующие им решения уравнения (1.2) имеют вид

$$\Phi = \frac{a_0^{-2}}{2} (\zeta - \zeta_E) + \frac{a_0^{-3}}{4} \alpha (\zeta - \zeta_E)^2 + \frac{m-1}{24m} a_0^{-4} (\zeta - \zeta_E)^3 + \dots \quad (1.25)$$

Обратно, каждое решение  $\Phi(\zeta)$  уравнения (1.2) в окрестности точки  $\zeta = \zeta_E$ ,  $\Phi(\zeta_E) = 0$  с  $d\Phi/d\zeta_E > 0$  изображается в соответствующей окрестности точки  $E$  двумя ветвями ИК уравнения (1.8) с  $C_E = \alpha > 0$  и  $C_E = \beta = -\alpha < 0$ .

Если  $\beta \neq -\alpha$  и первая производная  $\Phi'(\zeta)$  непрерывна, то при прохождении точки  $E$  описанным выше способом вторая производная  $\Phi''(\zeta)$  будет терпеть разрыв в точке  $\zeta = \zeta_E$ .

При прохождении точки  $E_*$  описанным выше способом соответствующие решения уравнения (1.2) в окрестности точек оси  $\zeta$  ведут себя следующим образом:

$$\Phi = -\frac{a_0^{-2}}{2} (\zeta - \zeta_{E_*}) + \frac{a_0^{-3}}{4} C_{E_*} (\zeta - \zeta_{E_*})^2 + \frac{m-1}{24m} a_0^{-4} (\zeta - \zeta_{E_*})^3 + \dots \quad (1.26)$$

ИК, выходящую из  $E$  при  $F \rightarrow +\infty$  и описываемую (1.22) с  $C_E = 0$ , обозначим  $\Psi_E$ . Каждое из соответствующих ей решений уравнения (1.2) описывается разложением (1.25) с  $\alpha = 0$ .

Аналогично определяется ИК  $\Psi_{E_*}$ . Ей в плоскости  $(\zeta, \Phi)$  соответствуют кривые, описываемые (1.26) с  $C_{E_*} = 0$ .

*Особая точка  $Q - Q_*$ .* Особая точка  $Q - Q_*$  — узел. В ее окрестности ИК ведут себя так:

$$\Psi = \frac{C_Q}{F} - 1 + \dots, \quad F \rightarrow 0, \quad C_Q \neq 0$$

В плоскости  $(\zeta, \Phi)$  точка  $Q - Q_*$  соответствует точкам локального экстремума решений уравнения (1.2). В окрестности точки экстремума  $\zeta = \zeta_Q$  решение представимо в виде

$$\Phi = c + \frac{C_Q c^3}{2} (\zeta - \zeta_Q)^2 - \frac{C_Q c^4}{6} (\zeta - \zeta_Q)^3 + \dots$$

Из этого разложения видно, что при переходе через точку  $Q - Q_*$  постоянная  $C_Q$  должна сохраняться. Пусть, например, ИК попадает в точку  $Q$  с  $C_Q < 0$  при  $F \rightarrow +0$ . Чтобы получить решение  $\Phi(\zeta)$  в окрестности точки  $\zeta = \zeta_Q$ , необходимо выйти из точки  $Q_*$  вдоль ИК с  $C_{Q_*} = C_Q$  при  $F \rightarrow -0$ .

Особая точка  $G - G_*$ . Особая точка  $G - G_*$  – седло. В нее при  $F \rightarrow +\infty$  входит единственная ИК

$$\Psi_G = -\frac{3}{2}F + \frac{m-2}{5m} + O(F^{-1}), \quad F \rightarrow +\infty, \quad m > 0$$

В плоскости  $(\zeta, \Phi)$  ей соответствуют ИК, тождественно не равные нулю, которые касаются оси  $\zeta$  [11, 12].

Особая точка  $C$ . Особая точка  $C$  при  $m > m_* = (-17 + 12\sqrt{6})/23 > 1/2$  – фокус, а при  $0 < m \leq m_*$  – узел. При приближении ИК  $\Psi = \Psi(F)$  к особой точке  $C$  соответствующие ей в плоскости  $(\zeta, \Phi)$  ИК при  $\zeta \rightarrow \zeta_c$  ведут себя следующим образом:

$$\Phi = \frac{6m}{m+1}(\zeta - \zeta_c)^{-1} + o[(\zeta - \zeta_c)^{-1}]$$

2. Таким образом, если ИК  $\Psi = \Psi(F)$  при  $F \rightarrow +0$  попадает в точку  $A$  при  $\xi > 0$ , то выполняется условие (1.3). Если она попадает в точку  $A$  при  $\xi < 0$ , то выполняется условие (1.5). Переход в точке  $E - E_*$  с ИК  $\Psi = \Psi(F; C_E)$  с  $C_E = \alpha > 0$  на ИК  $\Psi = \Psi(F; -\alpha)$  означает, что соответствующие ей ИК уравнения (1.2) пересекают ось  $\zeta$ .

Если точка  $E - E_*$  достигается вдоль  $\Psi_E$  или  $\Psi_{E_*}$ , то в нуль обращается одновременно  $\Phi(\zeta)$  и  $\Phi''(\zeta)$ . Прохождение особой точки  $Q - Q_*$  описанным выше способом показывает, что отвечающие ИК  $\Psi = \Psi(F)$  решения уравнения (1.2) имеют локальный экстремум. При приближении ИК  $\Psi = \Psi(F)$  к точке  $C$  соответствующие ей ИК уравнения (1.2) ведут себя как  $O[(\zeta - \zeta_c)^{-1}]$ .

Было доказано [3–5], что кривая  $\Psi_1$  при  $m > 1/2$  входит в точку  $E$  с определенным значением  $C_E = \beta^* < 0$ . Продолжим ее кривой  $\Psi_2$  с  $C_E = -\beta^* = \alpha^* > 0$ . Кривая  $\Psi_2$  при  $F \rightarrow +0$  попадает в точку  $A$ . Было также показано, что  $\Psi_G$  и  $\Psi_E$  при  $m > 1/2$  и  $F \rightarrow +0$  также достигают точки  $A$  (фигура).

Рассмотрим граничное условие

$$d\Phi / d\zeta \rightarrow 0, \quad \zeta \rightarrow -\infty \tag{2.1}$$

Краевая задача (1.2) – (1.4), (2.1) при  $m = 1$  дает решение задачи Чепмена [20, 21], а при  $m = 5/3$ , 2 описывает течение в слое смешения, который возникает в теории локального отрыва [10–12].

Решение краевой задачи (1.2) – (1.4), (2.1) отображается на кривую  $K = \Psi_1 \cup \Psi_2$  [3, 5]. В дальнейшем исследовании кривая  $K$  будет играть кардинальную роль. Поэтому рассмотрим решение задачи (1.2) – (1.4), (2.1) подробнее и найдем ее решение в параметрическом виде, считая поведение кривой  $K$  известным. В плоскости  $(\xi, f)$  кривым  $\Psi_1$  и  $\Psi_2$  соответствуют ИК, заданные параметрически

$$\Psi_1: \xi = \frac{c_1}{\sqrt{F+1}} \exp \Delta_1, \quad f = \frac{c_1^2 F}{F+1} \exp(2\Delta_1)$$

$$\Delta_1(F) = \int_0^F \left[ \frac{1}{\Psi_1} + \frac{1}{2(F+1)} \right] dF, \quad 0 \leq F < +\infty$$

$$\Psi_2: \xi = \frac{c_2}{\sqrt{F}} \exp(-\Delta_2), \quad f_2 = c_2^2 \exp(-2\Delta_2)$$

$$\Delta_2(F) = \int_F^\infty \left[ \frac{1}{\Psi_2} + \frac{1}{2F} \right] dF, \quad 0 \leq F < +\infty$$

Положим  $c_1 < 0$  и  $c_2 = -c_1 \exp[\Delta_1(\infty)]$ . Тогда функция, обратная к функции

$$\zeta = \int_0^\Phi \frac{d\xi}{f(\xi)}, \quad f(\xi) = \begin{cases} f_1(\xi), & \xi \in (c_1, 0) \\ c_1^2 \exp[2\Delta_1(\infty)], & \xi = 0 \\ f_2(\xi), & \xi \in (0, \infty) \end{cases}$$

дает решение задачи (1.2) – (1.4), (2.1) при  $m > 1/2$ . Значения постоянных  $c_1$  и  $b_1$  связаны между собой:

$$c_1 = -m^{\frac{m}{m+1}} b_1^{\frac{1}{m+1}} \exp \left\{ -\Delta_1(\infty) + \int_0^1 \left[ \frac{1}{\Psi_2} + \frac{m}{(m+1)F} \right] dF + \Delta_2(1) \right\} = -k_1(m) b_1^{\frac{1}{m+1}} \quad (2.2)$$

Из сказанного следует, что решение задачи (1.2) – (1.4), (2.1) существует при  $m > 1/2$  и единственно, как видно из условия (1.5) задачи (1.2) – (1.5), при  $m \geq 1$ . Чтобы выделить единственное решение при  $m > 1/2$ , вместо условия (2.1) можно потребовать  $\Phi \rightarrow c + O[\exp(-c\zeta)]$ ,  $c < 0$  при  $\zeta \rightarrow -\infty$ . Однако постоянная  $c$  связана с постоянной  $b_1$  соотношением (2.2) и не может быть положена произвольной. Коэффициент  $k_1$  в (2.2) при каждом  $m$  вычисляется один раз и навсегда. Так как особая точка  $B$  – седло, то условий  $\Phi \rightarrow c < 0$  и  $d\Phi/d\zeta > 0$ ,  $\zeta \in (-\infty, +\infty)$  достаточно для выделения единственного решения при  $m > 1/2$  [4, 22]. Если  $c$  взять равной  $c_1$ , то мы получим решение задачи (1.2) – (1.4), (2.1). Чтобы не вводить в краевые условия постоянную, которую необходимо определять в процессе решения, краевое условие при  $\zeta \rightarrow -\infty$  можно сформулировать следующим образом:  $(-\zeta)^{1+k^2} \Phi'(\zeta) \rightarrow 0$ ,  $\zeta \rightarrow -\infty$  при любом  $k$ .

Все кривые, расположенные между  $\Psi_E$  и  $\Psi_1$  в окрестности точки  $A$ , при  $F \rightarrow +\infty$  попадают в точку  $E$  и продолженные описанным выше способом при  $F \rightarrow +0$  возвращаются в точку  $A$  [4, 5]. Кривые, расположенные в окрестности точки  $A$  между  $\Psi_2$  и  $\Psi_G$ , при  $F \rightarrow +\infty$  попадают в точку  $E$ , затем продолженные, они при  $F \rightarrow +0$  попадают в точку  $Q$ .

Докажем это. В некоторой малой окрестности точки  $B$  проведем дугу  $TD$ , соединяющую кривые  $P_1$  и  $\Psi_1$ . Возьмем ИК  $\Psi = \Psi(F)$ , которая, выходя из точки  $E$ , в некоторой ее окрестности описывается разложением (1.21) или (1.22) при  $C_E = \beta > \beta^*$ . Возьмем некоторую точку  $(F_*, \Psi_*)$  на кривой  $\Psi = \Psi(F; \beta)$  в окрестности точки  $E$ . Проведем прямую  $F = F_*$ . Она пересечет кривые  $\Psi_1$  и  $P_1$  в точках  $N$  и  $M$ . Рассмотрим область  $\Omega_1$ , границей которой служат дуга  $TD$ , часть кривой  $P_1 - TM$ , часть кривой  $\Psi_1 - DN$  и отрезок прямой  $F = F_* - MN$ . В области  $\Omega_1$  наклон ИК отрицателен.

При продолжении ИК она может пересечь границу области  $\Omega_1$  только в точках  $TD$  или  $TM$ . Если ИК пересекает  $TD$ , то она (при условии малости радиуса дуги  $TD$ ) выйдет из сектора  $BT D$  через его сторону  $BT$  [15–17]. Таким образом, ИК  $\Psi = \Psi(F)$  при ее продолжении обязательно пересечет кривую  $P_1$  в некоторой точке  $(F_0, \Psi_0)$ . Возьмем кривую

$$\Psi_\gamma = - \left( C_\gamma F^{-2} - 3F^2 - \frac{2}{3} \frac{m+1}{m} F \right)^{1/2}, \quad F \in (0, F_0]$$

Постоянную  $C_\gamma$  выберем такой, чтобы кривая  $\Psi_\gamma$  проходила через точку  $(F_0, \Psi_0)$ . При  $F \rightarrow +0$  кривая  $\Psi_\gamma$  попадает в точку  $Q$ . Можно показать, что в точках кривой  $\Psi_\gamma$  справедливы неравенства

$$0 < \frac{d\Psi}{dF}(F, \Psi_\gamma) < \frac{d\Psi_\gamma}{dF}$$

Из неравенств следует, что любая интегральная кривая, выходящая из точки  $E$  ниже кривой  $\Psi_1$ , достигает точки  $Q$  при  $F \rightarrow +0$ . Продолженная через точку  $Q - Q_*$ , она попадает в область, в которой  $F < 0$ .

ИК, выходящие из точки  $A$  выше  $\Psi_G$ , сначала пересекают ось  $F$ , затем при  $F \rightarrow +0$  приходят в точку  $Q_*$  и затем продолженные попадают в точку  $C$ .

3. Рассмотрим задачу (1.2) – (1.5) при  $m > 1/2$  [4, 5] и дополнительном условии  $d\Phi/d\zeta > 0, \zeta \in (-\infty, +\infty)$ . Кривую, выходящую из точки  $A$  между кривыми  $\Psi_E$  и  $\Psi_2$ , обозначим  $\Psi_b$ , а между  $\Psi_E$  и осью  $\Psi - \Psi_H$ . Потребуем, чтобы кривые  $\Psi_b$  и  $\Psi_H$  были продолжением друг друга описанным выше способом через точку  $E$ . В плоскости  $(\xi, f)$  ИК  $\Psi_b$  будут соответствовать ИК

$$\xi = \frac{c_b}{\sqrt{F}} \exp[-\Delta_b(F)], \quad f_b = c_b^2 \exp[-2\Delta_b(F)], \quad c_b = \text{const}$$

$$\Delta_b = \int_F^\infty \left( \frac{1}{\Psi_b} + \frac{1}{2F} \right) dF, \quad F \in (0, \infty)$$

Эти формулы будут также описывать ИК в плоскости  $(\xi, f)$ , которые соответствуют  $\Psi_H$ , если в них вместо  $\Psi_b, \Delta_b$  и  $c_b$  подставить  $\Psi_H, \Delta_H$  и  $c_H$  ( $c_H = \text{const}$ ).

Положим  $c_b = -c_H$ . Тогда можно показать, что функция

$$f(\xi) = \begin{cases} f_H(\xi), & \xi \in (-\infty, 0) \\ c_b^2, & \xi = 0 \\ f_b(\xi), & \xi \in (0, +\infty) \end{cases}$$

дважды непрерывно дифференцируема и является решением уравнения (1.6). Постоянная  $c_b > 0$ . Тогда при  $|\xi| \rightarrow \infty$  ( $F \rightarrow +0$ ) имеем

$$f_b = \left\{ c_b \exp \left[ -\int_0^1 \left[ \frac{1}{\Psi_b} + \frac{m}{(m+1)F} \right] dF - \int_1^\infty \left[ \frac{1}{\Psi_b} + \frac{1}{2F} \right] dF \right] \right\}^{\frac{m+1}{m}} \xi^{\frac{m-1}{m}} + \dots \quad (3.1)$$

$$f_H = \left\{ -c_H \exp \left[ -\int_0^1 \left[ \frac{1}{\Psi_H} + \frac{m}{(m+1)F} \right] dF - \int_1^\infty \left[ \frac{1}{\Psi_H} + \frac{1}{2F} \right] dF \right] \right\}^{\frac{m+1}{m}} (-\xi)^{\frac{m-1}{m}} + \dots$$

Сравнивая найденные асимптотики с граничными условиями (1.6), получаем

$$b_2 = -b_1 \exp \left[ -(m+1) \int_0^\infty \left( \frac{1}{\Psi_H} - \frac{1}{\Psi_b} \right) dF \right], \quad c_b > 0 \quad (3.2)$$

При  $c_b < 0$  решением уравнения (1.6) будет также функция

$$f(\xi) = \begin{cases} f_b(\xi), & \xi \in (-\infty, 0); \\ c_b^2, & \xi = 0; \\ f_H(\xi), & \xi \in (0, +\infty). \end{cases}$$

Если  $c_b < 0$ , то

$$b_2 = -b_1 \exp \left[ (m+1) \int_0^\infty \left( \frac{1}{\Psi_H} - \frac{1}{\Psi_b} \right) dF \right], \quad c_b < 0 \quad (3.3)$$

Так как  $\Psi_H^{-1} - \Psi_b^{-1} \geq 0$ , то в случае (3.2) имеем  $(-b_2) \leq b_1$ , а в случае (3.3) –  $(-b_2) \geq b_1$ .

Решением задачи (1.2) – (1.5) является функция, обратная к

$$\zeta = \int_0^{\Phi} \frac{d\xi}{f(\xi)}$$

Рассмотрим интеграл

$$\int_0^{\infty} \left[ \frac{1}{\Psi_H} - \frac{1}{\Psi_b} \right] dF = \int_0^{\infty} \left[ \frac{1}{\Psi_H} - \frac{1}{\Psi_E} \right] dF + \int_0^{\infty} \left[ \frac{1}{\Psi_E} - \frac{1}{\Psi_b} \right] dF = I_1 + I_2$$

Функции  $I_1(\beta), I_2(-\beta), \beta \in (\beta^*, 0]$  являются монотонно убывающими и непрерывными. При  $\beta = 0$  они равны нулю. Покажем, что функция  $I_1(\beta)$  неограниченна. Проведем прямую  $\Psi = -1$ . Пусть на интервале  $(0, F_\delta)$  решение  $\Psi = \Psi_E(F)$  имеет асимптотическое представление (1.11), а прямая  $F = F_\delta$  сначала пересекает  $\Psi_E$ , а затем  $\Psi = -1$ .

Точки пересечения прямой  $F = F_\delta$  с  $\Psi_E$  и прямой  $\Psi = -1$  обозначим соответственно  $L_1$  и  $L_2$ . Область, ограниченную кривой  $\Psi_E$  и отрезками  $AB, BL_2, L_1L_2$ , обозначим  $\Omega_2$ . Рассмотрим в ней дифференциальное уравнение

$$\frac{d\Psi}{dF} = - \frac{\Psi_E^2 + 7F\Psi_E + 6F^2 + \Psi + \frac{m+1}{m}F}{F\Psi_E} = N(F, \Psi) \quad (3.4)$$

Его решением является  $\Psi = \Psi_E(F)$ . Интегральная кривая уравнения (3.4), выходящая из любой точки  $(F_0, -1)$ ,  $F_0 \in (0, F_\delta)$ , расположена между  $\Psi_E$  и интегральной кривой уравнения (1.8), так как

$$-\frac{P(F, \Psi)}{F\Psi} > N(F, \Psi), \quad (F, \Psi) \in \Omega_2$$

Уравнение (3.4) – линейное. Его общим решением является

$$\Psi = \Psi_E + D_E \exp \left[ - \int_{F_0}^F \frac{1+7F}{F\Psi_E} dF \right], \quad D_E = \text{const}$$

Через точку  $(F_0, -1)$  проходит интегральная кривая

$$\tilde{\Psi} = \Psi_E - [1 + \Psi_E(F_0)] F_0^{-\beta_a} \exp \left[ \frac{m}{(m+1)F_0} \left[ F^{\beta_a} \exp \left( \int_{F_0}^F \omega_2(F) dF \right) \right] \right] \exp \left[ - \frac{m}{(m+1)F} \right]$$

Оценим интеграл  $I_1$ :

$$\begin{aligned} \int_0^{\infty} \left[ \frac{1}{\Psi_H} - \frac{1}{\Psi_E} \right] dF &\geq \int_0^{F_0} \left[ \frac{1}{\tilde{\Psi}} - \frac{1}{\Psi_E} \right] dF + \int_{F_0}^{F_\delta} \left[ -1 - \frac{1}{\Psi_E} \right] dF + \\ &+ \int_{F_\delta}^{\infty} \left[ \frac{1}{\tilde{\Psi}_H} - \frac{1}{\Psi_E} \right] dF \geq \frac{m}{m+1} \ln \frac{F_\delta}{F_0} + O(F_\delta - F_0) \end{aligned}$$

Здесь  $\tilde{\Psi}_H$  – интегральная кривая уравнения (1.8), проходящая через точку  $(F_\delta, -1)$ . При  $F \rightarrow F_0$  величина  $\beta \rightarrow \beta_*$ . Следовательно,

$$\lim_{\beta \rightarrow \beta^*} I = \infty$$

так как функция  $I_2(-\beta)$  ( $\beta \in (\beta^*, 0]$ ) ограничена. Значит,  $(-b_1/b_2) \in (0, \infty)$ , и можно произвольно выбирать значения постоянных  $b_1$  и  $b_2$ .

Таким образом, если задать отношение  $(-b_1/b_2)$ , то из формул (3.2) или (3.3) получим вполне определенные значения  $C_E = \beta_0 < 0$  и  $C_E = \alpha_0 = -\beta_0 > 0$  и тем самым выделим единственным образом пару интегральных кривых  $\Psi_H$  и  $\Psi_b$ . Этой паре в классе дважды непрерывно дифференцируемых функций отвечает семейство решений краевой задачи (1.6), для которых соотношение  $(-b_1/b_2)$  имеет одно и то же значение. Зная  $b_1$  или  $b_2$ , определим  $c_b$  или  $c_H$  (при  $c_b > 0$  из (3.1)) и получим единственное решение задачи (1.6). При  $\xi = 0$  имеем

$$\frac{df_H}{d\xi} = \sqrt{2}c_H\beta_0, \quad \frac{df_b}{d\xi} = \sqrt{2}c_b\alpha_0 = (\sqrt{2}c_H\beta)$$

Следовательно, краевая задача (1.6) может быть заменена задачей Коши для уравнения (1.6) с начальными условиями

$$f(0) = c_b^2 (c_b \neq 0), \quad \frac{df}{d\xi}(0) = \sqrt{2}c_b\alpha_0, \quad \alpha_0 \in [0, \alpha^*)$$

После ее решения решение краевой задачи (1.2) – (1.5) определяется как функция, обратная к

$$\zeta = \int_0^\Phi \frac{d\xi}{f(\xi)} \tag{3.5}$$

Ее асимптотическое поведение при  $|\zeta| \rightarrow \infty$  имеет вид

$$\Phi = b_1(\zeta + l_A^{(1)})^m + \dots, \quad \zeta \rightarrow +\infty; \quad l_A^{(1)} = -\int_0^\infty \left[ \frac{1}{f(\xi)} - \frac{1}{mb_1^m \xi^{\frac{m-1}{m}}} \right] d\xi$$

$$\Phi = b_2(-\zeta + l_A^{(2)})^m + \dots, \quad \zeta \rightarrow -\infty; \quad l_A^{(2)} = -\int_{-\infty}^0 \left[ \frac{1}{f(\xi)} - \frac{1}{m(-b_2)^m (-\xi)^{\frac{m-1}{m}}} \right] d\xi$$

Поведение производных решения (3.5) определяется по формулам (1.9). При  $m = 1$  имеем  $d\Phi/d\zeta > 0$ , а также  $d^2\Phi/d\zeta^2 > 0$ , если  $c_b > 0$   $d^2\Phi/d\zeta^2 < 0$ , если  $c_b < 0$ .

Без дополнительного условия  $d\Phi/d\zeta > 0$  решение краевой задачи (1.2) – (1.5) при  $m > 1$  перестает быть единственным.

Работа выполнена при финансовой поддержке Российского фонда фундаментальных исследований (93-013-17363).

#### ЛИТЕРАТУРА

1. *Lessen M.* On the stability of the laminar boundary layer between parallel streams // *NACA Tech. Note.* 1949. № 1929. 31 p.
2. *Daniels P.G.* Viscous mixing at a trailing edge // *Quart. J. Mech. and Appl. Math.* 1977. V. 30. Pt. 3. P. 319–342.
3. *Диесперов В.Н.* О существовании и единственности автомодельных решений, описывающих течение в слоях смещения // *Докл. АН СССР.* 1984. Т. 275. Т. 6. С. 1341–1346.
4. *Диесперов В.Н.* Поведение автомодельных решений уравнения пограничного слоя с нулевым градиентом давления. М.: ВЦ АН СССР, 1986. 39 с.

5. Диесперов В.Н. Исследование автомодельных решений, описывающих течения в слоях смешения // ПММ. 1986. Т. 50. Вып. 3. С. 403–414.
6. Lock R.C. The velocity distribution in the laminar boundary layer between parallel streams // Quart. J. Mech. and Appl. Math. 1951. V. 4. Pt. 1. P. 42–57.
7. Шлихтинг Г. Теория пограничного слоя. М.: Наука, 1974. 711 с.
8. Батчелор Дж. Введение в динамику жидкости. М.: Мир, 1973. 758.
9. Laminar boundary layer / Ed. by Rosenhead I. Oxford: Univ. Clarendon Press, 1963. 687 p.
10. Нейланд В.Я. К теории отрыва ламинарного пограничного слоя в сверхзвуковом потоке // Изв. АН СССР. МЖГ. 1969. № 4. С. 53–57.
11. Сычев В.В., Рубан А.И., Сычев Вик.В., Королев Г.Л. Асимптотическая теория отрывных течений. М.: Наука, 1987. 255 с.
12. Stewartson K., Williams P.G. Self-induced separation // Proc. Roy. Soc. Ser. A. 1969. V. 312. № 1509. P. 181–206.
13. Bendixon I.O. Sur les courbes definies par des equations differentielles // Acta Math. 1900. V. 24. 88 p.
14. Хаимов Н.Е. Исследование уравнения, правая часть которого содержит линейные члены // Учен. зап. физ.-мат. ф-та Душанбинского пед. ин-та. 1952. Т. 2. С. 3–31.
15. Лефшец С. Геометрическая теория дифференциальных уравнений. М.: Изд-во иностр. лит., 1961. 387 с.
16. Sansone G., Conti R. Non-linear differential equations. L.: Pergamon Press, 1964. 536 p.
17. Немыцкий В.В., Степанов В.В. Качественная теория дифференциальных уравнений. М.: Гостехиздат, 1949. 550 с.
18. Трикоми Ф. Дифференциальные уравнения. М.: Изд-во иностр. лит., 1962. 351 с.
19. Еругин Н.П. Книга для чтения по общему курсу дифференциальных уравнений. Минск: Наука и техника, 1979. 743 с.
20. Chapman D.R. Laminar mixing of a compressible fluid // Naca Report. 1949. № 1800. 19 p.
21. Диесперов В.Н. О течении в слое смешения Чепмена // Докл. АН СССР. 1985. Т. 284. № 2. С. 305–309.
22. Диесперов В.Н. Некоторые решения уравнения Кармана, описывающие трансзвуковое обтекание точки излома профиля с криволинейной образующей // ПММ. 1994. Т. 58. Вып. 6. С. 68–77.

Москва

Поступила в редакцию  
21.II.1995